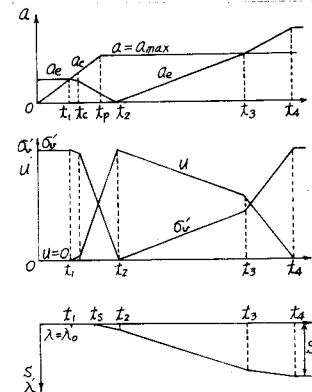


## II-135 開けき水圧性状からみた飽和砂層の安定性について

京都大学工学部 正員 石原藤次郎  
京都大学工学部 正員 ○尾島 勝

**[1] まえがき** 振動・衝撃あるいは地震などに対する砂質地盤の安定性は、静的荷重に対するそれに対して著しく低下する。動態時ににおける砂のせん断強度を支配する要素としては、振動方向・振動数・加速度などの入力特性と砂の比重・内部マツツ角・粒度分布・開けき率・二重圧がどの地盤特性と大考へられるが、飽和砂層の場合にはさらに開けき水の存在による動的性状と重要な要素として考慮しなければならない。われわれは、飽和砂層の不安定現象である液状化現象を、加速度場における砂層構造の破壊および再配列の過程としてとらえ、過剰開けき水圧の発生・逸散過程に対応してその機構を考察した。本論文では、液状化現象の発生予測を行なうための基本的な考え方を述べる。

**[2] 液状化過程** 振動加速度 $a$ 、初起加速度 $a_0'$ 、過剰開けき水圧 $u$ 、有効応力 $\sigma'_v$ 、開けき率入(沈下量 $S$ )の時間的変化を模式的に示したのが図-1である。時刻 $t_0$ で $a$ が増加し始め、それにともなって $\sigma'_v$ が減少するが、これが増加して $\sigma'_v$ がゼロになればその点は完全液状化の状態となる。その後時間の経過とともに $u$ は逸散し砂層が収縮して開けき率入は減少する。 $a$ は砂の粒子構造に繋合であるほど大きい程度を持つことより $a = a_0' \cdot \varphi(\lambda)$ と仮定したから、 $t_0$ から減少し始めて $t_1$ でゼロになり、その後増大して $t_2$ で振動加速度 $a$ と等しくなる。このとき $u$ はまだ残存しており、その後も逸散するから $a$ はさらに増大する。液状化過程における諸量の定性的な説明は、以上のようにある。



**[3] 液状化発生の予測** 時刻 $t_0$ から $u$ が上界し始め、液状化の進行が始まるから、液状化の発生あるいは砂層の安定性の予測を行なうことは、初起加速度 $a_0'$ を適確に求めることに帰着される。この仮想量の物理的意味を吟味すれば、つぎのようである。

$$a_0' = \sigma'_v \cdot \varphi(\lambda) = (\sigma'_v(z) - u(z,t)) \cdot \varphi(\lambda(z,t)) = (\sigma'_v z + p_0 - u(z,t)) \cdot \varphi(\lambda(z,t)) \quad (1)$$

で示されるように、一般には、有効上載荷 $(\sigma'_v z + p_0)$ 、過剰開けき水圧 $u$ 、開けき率入の諸量に關係し、したがって場所と時間によつて異なる。ところで、せん断強度は、 $T = (\sigma'_v - u) \tan \theta$  で表わされ、内部マツツ角 $\theta$ は砂層容積 $V$ がわち間隙 $V$ によって変わるものから、 $a_0'$ は時々刻々のせん断強度に従属して物理量と考えることはできよう。換言すれば、 $a_0'$ は液状化過程における時々刻々のせん断強度を表す指標といつてはいける。この $a_0'$ は実験によつて決定しなければならないが、直接的に決定することはむづかしく、つぎのような方法を用いる。

座標 $Z$ を右側のように入り、過剰開けき水圧の測点 $Z_1$ 、 $Z_2$ の中点 $Z_m$ における過剰水圧 $u$ を $\partial u(Z_m,t)/\partial Z$ と $\partial u(Z_m,t)/\partial Z = (u(Z_m,t) - u(Z_1,t))/(Z_2 - Z_1)$ で近似する。この値は、点 $Z_m$ がまだ液状化していない場合はゼロであり、完全液状化の状態に至れば、砂の水中単位体積重量 $\gamma$ に等しい。したがって、振動力によつて砂粒子間の動的平衡が破れて $\partial u/\partial Z$

の値がゼロから正に移行する限界状態の加速度  $a_c$  と励起加速度  $a_e$  との間にはつぎの関係がある。<sup>2)</sup>

$$a_c = a_{ec} - \frac{g_c}{R g_c - 1} \cdot \frac{g}{R g_c} K_c^2 \left[ \frac{\partial^2 u}{\partial z^2} \right]_c \approx (g_c' z + p_c - u_c) \cdot \varphi(\lambda_c) - \frac{g}{R g_c} K_c^2 \left[ \frac{\partial^2 u}{\partial z^2} \right]_c \quad (2)$$

$=: K$ ,  $g_c = (\frac{m}{\rho}) \cdot \frac{2C(1-\lambda_c)}{\lambda_c} + 1$ ,  $K_c^2 = \frac{KC^2}{g_c g}$ ,  $R$ : 流状化速度係数,  $K$ : 透水係数,  $C$ : 水中音速,  $g$ : 重力加速度であり, 添字 C は限界状態での諸量であることを意味する。

過剰間隙水圧発生初期の限界状態では, 圖-1からもわかるように入には, 初期間隙水圧入による影響で, また  $u_c$  も小さいから, 式(2)の関係から決定される  $a_c$  は, 初期砂層状態での励起加速度に等しいと考えてよい。したがって,  $\varphi(\lambda_c) = \varphi(\lambda_0)$  と,  $\frac{g}{R g_c} K_c^2 \left[ \frac{\partial^2 u}{\partial z^2} \right]_c$  が決定できれば,  $a_c$  を決定することができる。

#### ④ $a_{ec}$ 決定の一実験とその考察 番浦標準砂を用いた実験から得た $a_c$ と $(g_c' z + p_c - u_c)$ の関係を示したのが図-2である。

固く示された実験値は,  $\lambda_0 = 0.435 \sim 0.455$  の比較的中立的な砂層について整理したものである。図中に示すように比例直線を定めれば,  $a_c$  の切片の値から式(2)の右辺第2項  $-\frac{g}{R g_c} K_c^2 \left[ \frac{\partial^2 u}{\partial z^2} \right]_c$  が決定できる。こゝで二の値は, 透水係数  $K$  の変化には影響されるが間隙水圧入の変化にはほとんど影響されないから, 同一砂層については同じであるとみなしてもよからう。二の値を  $a_c$  から差引き  $(g_c' z + p_c - u_c)$  で除した値, すなはち  $\varphi(\lambda_c) \times \lambda_c$  の関係を示したのが図-3である。 $\varphi(\lambda_c)$  は  $\lambda_c$  の増大とともに減少しており, これを直線近似として折線(破線)で近似し,  $\varphi(\lambda_c) = 72 - 171\lambda_c$ , ( $\lambda_0 \leq 0.415$ ),  $\varphi(\lambda_c) = 1$ , ( $\lambda_0 > 0.415$ )とした。したがって,  $a_{ec}$ ,  $a_c$  に対してつぎの関係式を得た。

$$\begin{aligned} a_{ec} &= (g_v - u_c) \cdot (72 - 171\lambda_c), & a_c &= (g_v - u_c) \cdot (72 - 171\lambda_c) + 70 & \lambda_0 \leq 0.415 \\ &= (g_v - u_c) \cdot 1 & a_c &= (g_v - u_c) \cdot 1 + 70 & \lambda_0 > 0.415 \end{aligned} \quad (3)$$

式(3)の関係は,  $a_c$  の決定法を厳密に前段に示した値をより修正改良したものである。<sup>1)</sup>

こゝで, 前述したように  $\lambda_c = \lambda_0$  であり,  $u_c$  も  $g_v$  に対して無視しうるほど小さいから, 砂層の  $\lambda_0$  を知りだけでもその砂層が振動に対する不対応による加速度を推定できる。

⑤ わとり 種和砂層の流状化過程を過剰間隙水圧発生・逸散過程として説明し, その発生予測の基本となる励起加速度  $a_e$  の決定方法について述べた。このようすを適用すれば, 砂層の初期間隙水圧と初期の水中単位体積重量を知りだけで  $a_e$  を推定できるから, その砂層地盤に対する地震応答には振動に対し, 流状化の危険性を予測するこゝも可能とならう。

1) 尾島・吉賀: “種和砂層の流状化機構について,” 昭和45年度関西支部年次学術講演会講演概要, II-28, 昭和45年5月。

2) 尾島: “種和砂層の流状化機構に関する理論的研究” 工学会論文報告集, 投稿中。

